

## ЭЛЕКТРОИЗМЕРИТЕЛЬНЫЕ ПРИБОРЫ И УСТРОЙСТВА

УДК 621.317.727.2

П. П. КЕМЕШИС, Г. М. ЯСИНЕВИЧЕНЕ

(Каунас)

### ВОПРОСЫ ДИНАМИКИ ДВУХКАНАЛЬНОГО ФЕРРОДИНАМИЧЕСКОГО АВТОКОМПЕНСАТОРА

Приводятся выражения передаточных функций двухканального ферродинамического автокомпенсатора с отдельными рабочими рамками. Рассматривается вопрос стабилизации устройства при помощи корректирующих цепей переменного тока. Сопоставляются экспериментальные и расчетные переходные процессы и амплитудно-частотные характеристики системы. Определяются условия устойчивой работы автокомпенсатора при изменении фазового угла и коэффициента усиления усилителя.

Двухканальный ферродинамический автокомпенсатор может быть успешно применен для одновременного измерения и регистрации составляющих вектора переменного напряжения [1, 2]. Совместно с оптическим преобразователем [3] он может быть использован в качестве измерителя модуля и аргумента переменного напряжения. Анализ статических погрешностей ферродинамических автокомпенсаторов показал, что точность двухканального автокомпенсатора при определении модуля и аргумента переменного напряжения соответственно не меньше 0,5%. Однако недостаточно исследованные вопросы динамики двухканального автокомпенсатора затрудняют его применение.

В настоящей статье излагаются основные соотношения, определяющие динамические свойства двухканального ферродинамического автокомпенсатора с отдельными рабочими рамками.

#### ПЕРЕДАТОЧНЫЕ ФУНКЦИИ ПО ОГИБАЮЩИМ ДЛЯ ДВУХКАНАЛЬНОГО АВТОКОМПЕНСАТОРА С ОТДЕЛЬНЫМИ РАБОЧИМИ РАМКАМИ

Двухканальный ферродинамический автокомпенсатор (рис. 1) выполнен в виде следящей системы переменного тока с усилителем [1].

Ферродинамические приборы имеют две концентрически расположенные рамки — компенсационную  $W_k$  и рабочую  $W_d$ . Сумма э. д. с.  $E_{k1}(t)$  и  $E_{k2}(t)$ , индуцированных в компенсационных рамках, служит для уравнивания измеряемого напряжения  $U(t) = U(t) \sin(\omega_0 t + \delta)$ , где  $U(t)$  — огибающая измеряемого напряжения;  $\omega_0$  — несущая частота;  $\delta$  — фазовый угол измеряемого напряжения.

В системе применен широкополосный электронный усилитель с двумя выходными каскадами ( $K'_1$  и  $K'_2$ ).

Чувствительность приборов к составляющим вектора измеряемого напряжения  $U$  одинакова, т. е. анализируемый автокомпенсатор симметричный. Условия симметрии системы следующие:

$$\begin{aligned} W_{d1} &= W_{d2} = W_d; \\ W_{k1} &= W_{k2} = W_k; \\ \Phi_1 &= \Phi_2 = \Phi; \quad K_1(p) = K_2(p) = K(p); \\ Z_1(p) &= Z_2(p) = Z(p); \quad J_1 = J_2 = J; \\ q_1 &= q_2 = q; \quad \omega_1 = \omega_2 = \omega, \end{aligned}$$

где  $\Phi$  — амплитуда потока возбуждения;  
 $K(p)$  — передаточная функция усилителя;  
 $p$  — оператор Лапласа;  
 $Z(p)$  — сопротивление цепи рабочей рамки;  
 $J$  — момент инерции подвижной части измерительной системы;  
 $q$  — механический коэффициент успокоения;  
 $\omega$  — механический удельный противодействующий момент, создаваемый токоподводками рамок.

Взаимная индуктивность между компенсационной и рабочей рамками  $M$  пренебрежимо мала, т. е. при анализе системы считается, что  $M=0$ . Поток возбуждения первого прибора отстает от потока возбуждения второго прибора на угол  $\psi$  ( $\psi = -90^\circ$ ).

Передаточные функции по огибающим для замкнутой системы двухканального ферродинамического автокомпенсатора определяются аналогично одноканальному [4] с помощью методики определения передаточных функций следящих систем, работающих на переменном токе [5]. При определении передаточных функций принято, что частота входного сигнала огибающей измеряемого напряжения  $\Omega$  гораздо меньше несущей частоты  $\omega_0$ , т. е.  $\Omega \ll \omega_0$ .

Данное допущение позволяет не учитывать составляющие двойной несущей частоты на выходе системы [6], что существенно упрощает решение задачи.

Система уравнений, описывающая работу двухканального автокомпенсатора с отдельными рабочими рамками, имеет следующий вид:

$$\left\{ \begin{aligned} A(p) \alpha_x(p) &= -\operatorname{Im} \frac{K(p+j\omega_0)}{Z(p+j\omega_0)} U_x(p) - \operatorname{Re} \frac{K(p+j\omega_0)}{Z(p+j\omega_0)} U_y(p) + \\ &+ \left( \Phi_k \operatorname{Im} \frac{K(p+j\omega_0)}{Z(p+j\omega_0)} p + \Phi_k \omega_0 \operatorname{Re} \frac{K(p+j\omega_0)}{Z(p+j\omega_0)} \right) \alpha_y(p); \\ A(p) \alpha_y(p) &= -\operatorname{Im} \frac{K(p+j\omega_0)}{Z(p+j\omega_0)} U_y(p) + \operatorname{Re} \frac{K(p+j\omega_0)}{Z(p+j\omega_0)} U_x(p) - \\ &- \left( \Phi_k \operatorname{Im} \frac{K(p+j\omega_0)}{Z(p+j\omega_0)} p + \Phi_k \omega_0 \operatorname{Re} \frac{K(p+j\omega_0)}{Z(p+j\omega_0)} \right) \alpha_x(p), \end{aligned} \right. \quad (1)$$

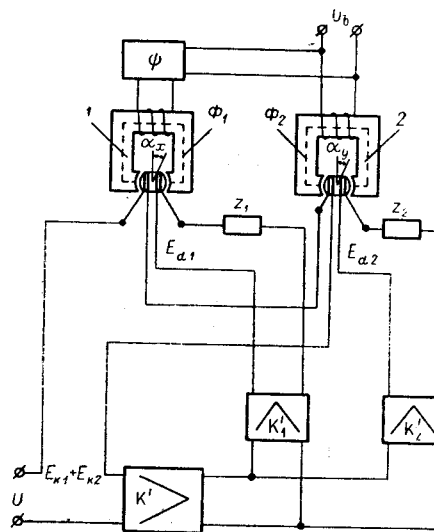


Рис. 1.

где

$$A(p) = \frac{2I}{\Phi_d} p^2 + \left( \frac{2q}{\Phi_d} + \Phi_d \operatorname{Re} \frac{1}{Z(p+j\omega_0)} + \Phi_k \operatorname{Re} \frac{K(p+j\omega_0)}{Z(p+j\omega_0)} \right) p + \frac{2w}{\Phi_d} - \Phi_d \omega_0 \operatorname{Im} \frac{1}{Z(p+j\omega_0)} - \Phi_k \omega_0 \operatorname{Im} \frac{K(p+j\omega_0)}{Z(p+j\omega_0)};$$

$$\operatorname{Re} \frac{K(p+j\omega_0)}{Z(p+j\omega_0)} = \frac{1}{2} \left( \frac{K(p+j\omega_0)}{Z(p+j\omega_0)} + \frac{K(p+j\omega_0)}{Z(p+j\omega_0)} \right) \text{ — передаточная функция по огибающей усилителя и цепи рабочей рамки для синфазной составляющей};$$

$$\operatorname{Im} \frac{K(p+j\omega_0)}{Z(p+j\omega_0)} = \frac{1}{2j} \left( \frac{K(p+j\omega_0)}{Z(p+j\omega_0)} - \frac{K(p-j\omega_0)}{Z(p-j\omega_0)} \right) \text{ — передаточная функция по огибающей усилителя и цепи рабочей рамки для квадратурной составляющей};$$

$$\Phi_k = \Phi W_k; \quad \Phi_d = \Phi W_d; \quad U_x(p) = U(p) \cos \delta; \quad U_y(p) = U(p) \sin \delta.$$

Широкополосный электронный усилитель относительно огибающей входного сигнала при  $\Omega \ll \omega_0$  можно считать безынерционным. Угол усилителя  $\varphi$  на несущей частоте  $\omega_0$  равен  $-90^\circ$ , т. е.

$$\operatorname{Re} K(p+j\omega_0) = 0; \quad \operatorname{Im} K(p+j\omega_0) = -K. \quad (2)$$

В случае наличия в рабочих цепях рамок добавочного активного сопротивления  $R \gg \omega_0 L$  ( $L$  — индуктивность цепи рабочей рамки) можно считать, что

$$\operatorname{Im} \frac{1}{Z(p+j\omega_0)} = 0; \quad \operatorname{Re} \frac{1}{Z(p+j\omega_0)} = \frac{1}{R}. \quad (3)$$

Решая систему уравнений (1) и учитывая условия (2) и (3), легко показать, что передаточные функции по огибающим для отдельных каналов анализируемого автокомпенсатора равны:

$$D_x(p) = \frac{a_x(p)}{U_x(p)} = \frac{A(p) \frac{K}{R} - \Phi \left( \frac{K}{R} \right)^2 \operatorname{tg} \delta p}{A^2(p) + \Phi \left( \frac{K}{R} \right)^2 p^2}; \quad (4)$$

$$D_y(p) = \frac{a_y(p)}{U_y(p)} = \frac{A(p) \frac{K}{R} + \Phi_k \left( \frac{K}{R} \right)^2 \operatorname{ctg} \delta p}{A^2(p) + \Phi_k \left( \frac{K}{R} \right)^2 p^2}. \quad (5)$$

Устойчивость системы определяется характеристическим уравнением, соответствующим знаменателю передаточных функций. Анализ характеристического уравнения показывает, что при практических значениях параметров автокомпенсатора система возбуждается, или имеет переходный процесс с малым коэффициентом затухания.

## СТАБИЛИЗАЦИЯ АВТОКОМПЕНСАТОРА С ПОМОЩЬЮ КОРРЕКТИРУЮЩИХ ЦЕПЕЙ ПЕРЕМЕННОГО ТОКА

Для стабилизации системы последовательно с усилителем включается корректирующая цепь (Т-образный мост, двойной Т-образный мост или др.). Передаточные функции резонансных корректирующих цепей переменного тока имеют вид [7]:

$$\operatorname{Re} T(p + j\omega_0) = n \frac{\tau p + 1}{n \tau p + 1} \quad \text{для синфазной составляющей;}$$

$$\operatorname{Im} T(p + j\omega_0) = 0 \quad \text{для квадратурной составляющей,}$$

где  $n$  — коэффициент передачи;

$\tau$  — постоянная времени.

Так как  $n \tau \ll \frac{1}{\omega_0}$ , а частота огибающей входного сигнала  $\Omega$  гораздо меньше  $\omega_0$ , то передаточную функцию корректирующей цепи можно упростить:

$$\operatorname{Re} T(p + j\omega_0) = n(\tau p + 1). \quad (7)$$

Эквивалентные передаточные функции по огибающим для последовательно соединенного усилителя и корректирующей цепи, определенные на основе уравнений (2), (6) и (7), равны:

$$\operatorname{Re} K(p + j\omega_0) = 0; \quad \operatorname{Im} K(p + j\omega_0) = -Kn(\tau p + 1). \quad (8)$$

Подставляя (6) в (1) и решая уравнения относительно  $\alpha_x(p)$  и  $\alpha_y(p)$ , можно показать, что при  $\left(\frac{2f}{\Phi_d}\right)^2 \gg \left(\frac{\Phi_k}{R} Kn \tau\right)^2$  и  $(\tau \omega_0)^2 \gg 1$  каналы системы практически являются независимыми и устойчивость схемы определяется характеристическим уравнением

$$\begin{aligned} \frac{2J}{\Phi_d} p^2 + \left( \frac{2q}{\Phi_d} + \frac{\Phi_d}{R} + \frac{\Phi_k \omega_0 Kn \tau}{R} \right) p + \frac{2w}{\Phi_d} + \\ + \frac{\Phi_k \omega_0 Kn}{R} = 0. \end{aligned} \quad (9)$$

Механический коэффициент успокоения  $q$  и механический удельный момент  $w$  пренебрежимо малы ( $q \approx 0$ ;  $w \approx 0$ ) и на динамику системы не влияют.

Параметры корректирующей цепи, коэффициент усиления усилителя и сопротивление цепи рабочей рамки в этом случае можно найти из выражений:

$$\frac{Kn}{R} = \frac{2J(\Omega_0)^2}{\Phi_d \Phi_k \omega_0}; \quad \tau = \frac{2\beta}{\Omega_0}, \quad (10)$$

задавшись резонансной частотой системы по огибающей  $\Omega_0$  и коэффициентом затухания переходного процесса  $\beta$ .

Для проверки теоретических положений был построен экспериментальный макет двухканального автокомпенсатора с отдельными рабочими рамками. Параметры системы:  $\Phi_d = \Phi_k = 0,8 \cdot 10^{-4} \text{ вб}$ ,  $J = 0,5 \cdot 10^{-9} \text{ кгм}^2$ ;  $f_0 = 500 \text{ гц}$ ;  $R = 50 \text{ ом}$ ; коэффициент усиления усилителя  $K = 600$ . Без корректирующей цепи автокомпенсатор возбуждается. Для стабилизации системы использован двойной Т-образный мост

со следующими параметрами:  $\tau = 0,955 \cdot 10^{-2}$  сек;  $n = 0,0164$ . На рис. 2 показан экспериментальный (кривая 1) и расчетный (кривая 2) переходные процессы системы при подаче на вход скачкообразного сигнала

$$U(t) = U(t) \sin(\omega_0 t + 90^\circ) \begin{cases} U(t) = 0; & t < 0; \\ U(t) = U; & t > 0. \end{cases}$$

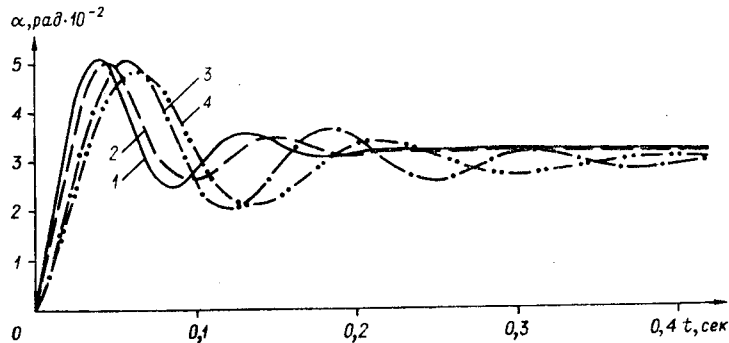


Рис. 2.

На рис. 3 приведены экспериментальная (кривая 1) и расчетная (кривая 2) амплитудно-частотные характеристики автокомпенсатора при входном сигнале

$$U(t) = U \sin \Omega t \sin(\omega_0 t + 90^\circ).$$

Экспериментальный анализ динамики автокомпенсатора подтверждает правильность теоретических форм. Небольшое расхождение между теорией и экспериментом объясняется неточностью параметров экспериментального макета. Например, в корректирующей цепи применялись конденсаторы пятипроцентной точности.

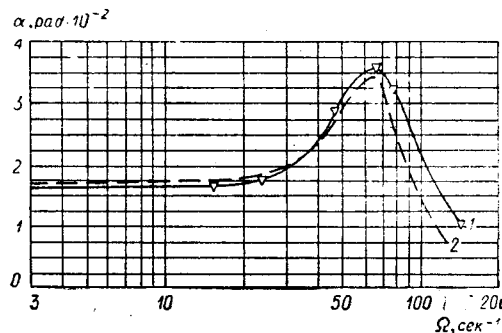


Рис. 3.

### УСТОЙЧИВОСТЬ КОМПЕНСАТОРА ПРИ ИЗМЕНЕНИИ КОЭФФИЦИЕНТА УСИЛЕНИЯ УСИЛИТЕЛЯ

Анализ уравнения (9) показывает, что при уменьшении коэффициента  $K$  уменьшается как резонансная частота системы  $\Omega_0$ , так и коэффициент затухания  $\beta$ . При этом время переходного процесса значительно возрастает. Это иллюстрируется соответственно эксперименталь-

ной и расчетной кривыми 3 и 4 (см. рис. 2), для которых коэффициент  $K$  уменьшен на 50% относительно  $K$  для кривых 1 и 2. Увеличение коэффициента  $K$  ведет к улучшению динамических свойств системы.

С увеличением коэффициента  $K$  возрастает  $\Omega_0$  и принятое допущение  $\Omega \ll \omega_0$  становится несправедливым. Поэтому при больших значениях коэффициента  $K$ , рассматривая устойчивость системы, необходимо учитывать составляющие двойной несущей частоты на выходе автокомпенсатора [6]. В этом случае анализ динамики системы очень усложняется из-за громоздких выражений передаточных функций корректирующей цепи.

Экспериментальный анализ описанного макета показал, что при  $K > 2000$  система теряет устойчивость. Возможными причинами возбуждения следует считать: нелинейность характеристики усилителя [2] и составляющие двойной несущей частоты на выходе системы [6].

### УСТОЙЧИВОСТЬ АУТОКОМПЕНСАТОРА ПРИ ИЗМЕНЕНИИ ФАЗОВОГО УГЛА УСИЛИТЕЛЯ

Анализ работы двухканального ферродинамического автокомпенсатора с отдельными рабочими рамками показал, что на устойчивую работу схемы особенно влияет фазовый угол усилителя  $\varphi$ . При  $\varphi \neq 90^\circ$  эквивалентные передаточные функции последовательно соединенного усилителя и корректирующей цепи для синфазной и квадратурной составляющих соответственно равны:

$$\operatorname{Re}K(p+j\omega_0) = k; \operatorname{Im}K(p+j\omega_0) = -Kn(\tau p+1). \quad (11)$$

Из системы уравнений (1) можно определить характеристическое уравнение автокомпенсатора при наличии  $\operatorname{Re}K(p+j\omega_0)$ . Применяя критерий Раута — Гурвица, можно установить, что автокомпенсатор работает устойчиво при

$$\begin{aligned} \operatorname{ctg} \varphi < - \frac{\Phi_d \Phi_k K n \tau}{4IR} \left( 1 - \sqrt{1 + 4\omega_0 \frac{2IR}{\Phi_d \Phi_k K n}} \right); \\ \operatorname{ctg} \varphi > - \frac{\Phi_d \Phi_k K n \tau}{4IR} \left( 1 + \sqrt{1 + 4\omega_0 \frac{2IR}{\Phi_d \Phi_k K n}} \right). \end{aligned} \quad (12)$$

Допустимые пределы изменения угла  $\varphi$  для описанного экспериментального макета по формуле (12) составляют  $-153^\circ 30' < \varphi < -55^\circ$ . Экспериментально определенные границы изменения угла усилителя  $\varphi$  равны  $-149^\circ < \varphi < -59^\circ$ .

Резонансная корректирующая цепь, примененная для стабилизации системы, резко увеличивает зависимость между углом усилителя  $\varphi$  и несущей частотой  $\omega_0$ , так как  $n$ ,  $\tau$  и  $R$  являются функциями  $\omega_0$  [7]. Если возможное изменение несущей частоты вызывает изменение  $\varphi$  больше допустимых пределов, то для стабилизации системы нужно применять широкополосные корректирующие цепи [8].

### ВЫВОДЫ

Приведенные уравнения позволяют провести полный анализ работы двухканального ферродинамического автокомпенсатора, т. е. определить параметры нужных корректирующих цепей, выяснить влияние парамет-

ров схемы на динамику прибора, рассчитать амплитудно-частотные характеристики и определить кривые переходных процессов.

Произведенный анализ показывает, что на основе двухканального ферродинамического автокомпенсатора с отдельными рабочими рамками может быть разработано точное и быстродействующее автоматическое вектормерное устройство.

#### ЛИТЕРАТУРА

1. Л. Ф. Куликовский, А. М. Мелик-Шахназаров. Компенсаторы переменного тока. М., Госэнергоиздат, 1960.
2. Т. М. Алиев. Автоматическое регистрирующее устройство с ферродинамическим измерителем для записи быстроизменяющихся величин.—ИВУЗ, Приборостроение, 1961, № 6.
3. А. Л. Цибер. Вектормерное устройство с отсчетом в прямоугольной системе координат.—ИВУЗ, Приборостроение, 1962, № 1.
4. П. П. Кемешис, Г. М. Ясиневичене. Передаточные функции следящего ферродинамического устройства.—Труды АН ЛитССР, 1962, серия Б, № 4 (31).
5. Основы автоматического регулирования, т. 2, ч. 2. Под ред. В. В. Солодовникова. М., Машгиз, 1959.
6. А. А. Казамапов, А. О. Роднянский. К теории двумерных систем автоматического управления с модуляцией.—Автоматика и телемеханика, 1966, XXVII, № 1.
7. В. К. Титов. Анализ работы систем автоматического регулирования переменного тока методом эквивалентной передаточной функции постоянного тока.—Автоматическое управление и вычислительная техника, 1962, вып. 5.
8. Т. Ф. Зайцев, П. П. Огулов. Широкополосный фазочувствительный емкостный дифференциатор переменного тока.—Автоматика и телемеханика, 1964, т. XXV, № 1.

*Поступила в редакцию  
6 декабря 1965 г.,  
окончательный вариант —  
26 марта 1966 г.*